

[83] 高性能な鋼纖維補強コンクリートと鉄筋コンクリートはりへの利用

正会員 小柳 治 (岐阜大学工学部)
 正会員 ○六郷 恵哲 (岐阜大学工学部)
 正会員 内田 裕市 (岐阜大学大学院)
 正会員 岩瀬 裕之 (岐阜大学大学院)

1. まえがき

鋼纖維補強コンクリートに関してこれまでに数多くの研究が行われ、その特性の解明もかなりの程度まで進み、また施工例も年々増加している。しかしながら、今後さらに鋼纖維補強コンクリートの利用を拡大するためには次の2つの課題について検討する必要があると考えられる。その1つは経済性であり、鋼材量をできるだけ低減させることである。すなわち通常の鋼纖維補強コンクリートと同様の性能を持ちながら鋼纖維混入量の少ないコンクリートを開発する必要があると考えられる。もう1つの課題は高性能化である。曲げ強度ならびに引張強度が高く韌性に富むという鋼纖維補強コンクリートの特性をなお一層高めることによって利用範囲を拡げる必要があると考えられる。

本研究は後者の課題をとりあげ、高曲げ強度と高韌性を有する高性能な鋼纖維補強コンクリートを開発することを目的として、このようなコンクリートを製造するために必要な条件を明らかにすることを試みたものである。また高性能な鋼纖維補強コンクリートをRCはりとして利用した場合のはりの破壊性状についても検討を行った。

2. 実験方法

(a) 概要 高曲げ強度と高韌性を有する鋼纖維補強コンクリートを得るために、マトリックスとなるコンクリート自体の強度を高めるとともに鋼纖維が受けもつことのできる荷重を大きくする必要があると考えられる。

本実験では、マトリックスとなるコンクリートの強度を高めるために高性能減水剤を用い水セメント比を小さくした。また、鋼纖維が受けもつ荷重を大きくするため、鋼纖維の混入量を増やすとともに断面積の大きい纖維を用いた。すなわち、本実験では、アスペクト比の小さい各種の形状・寸法をした鋼纖維を最大限混入し、鋼纖維補強コンクリートの強度ならびに韌性におよぼすそれらの効果について検討した。

さらにRCはりの試験においては、圧縮韌性の大きい鋼纖維補強高強度コンクリートをRCはりに利用した場合のはりの破壊性状を、高強度コンクリートのRCはりおよび鋼纖維補強普通強度コンクリートのRCはりの破壊性状と比較検討した。

(b) 鋼纖維補強コンクリート供試体と試験方法 マトリックスを高強度にして各種の形状・寸法の鋼纖維を混入した鋼纖維補強高強度コンクリート8種(D~Kシリーズ)、およびこれらと比較するための普通強度コンクリート(Aシリーズ)、高強度コンクリート(Bシリーズ)、鋼纖維補強普通強度コンクリート(Cシリーズ)の計11種類について試験した。セメントはすべて早強ポルトランドセメントを使用した。細骨材には比重2.59~2.60 E.M. 2.76~2.85 の川砂を使用し、粗骨材には比重2.59~2.62 の砂石を使用した。なお、比重等が一定でないのは入手時期の異なる骨材を使用したためである。粗骨材の最大寸法は15mmとした。混和剤は、BおよびD~Kシリーズには高性能減水剤を、Cシリーズには通常の減水剤を使用した。コンクリートの配合を表-1に示し、鋼纖維の詳細を表-2に示す。なお、E~Kシリーズの鋼纖維混入率は、予備実験の結果から定めた。鋼纖維のアスペクト比が小さい場合(F~Kシリーズ)には練り混ぜ時にファイバーボールはまったく生じなかったが、混入量が増大するにつれてセメントベースト分が不足する傾向にあった。

曲げ試験には10×10×40cmの角柱供試体を、圧縮試験にはø10×20cmの円柱供試体を用いた。同一試験条件に対しては原則として5個の供試体を用い、結果はこれらの平均値によって示した。材令は原則として2週間と

し、試験時まで水中養生を行った。圧縮試験では、検長18cmで計測した圧縮変位(変形)と荷重との関係をX-Yレコーダに記録した。曲げ試験ではスパン30cmで3等分点に載荷し、載荷点直下の変位(たわみ)と荷重との関係をX-Yレコーダに記録した。

(c) RCはり供試体と試験方法 鋼纖維補強高強度コンクリートのRCはり(HFシリーズ)、鋼纖維補強普通強度コンクリートのRCはり(NFシリーズ)および高強度コンクリートのRCはり(HPシリーズ)をそれぞれ2体ずつ、計6体のRCはりを作成した。コンクリートの配合を表-1に併記する。使用した主鉄筋はいずれのはりも高強度鉄筋($\phi 11\text{ mm}$, $\sigma_{sy} = 7400 \text{ kgf/cm}^2$)であり、鉄筋比はすべて2.4%とした。いずれのはりにもせん断破壊をしないようにせん断スパンにスターラップを配筋した。図-1にRCはりの形状寸法ならびに載荷位置を示す。試験は、ある変位または荷重まで載荷を行い除荷する過程を繰返す漸増繰返し載荷によった。

3. 鋼纖維補強高強度コンクリートの強度と韌性

(a) 強度 曲げ強度ならびに圧縮強度試験の結果を表-3に示す。通常の鋼纖維補強コンクリートであるCシリーズの曲げ強度は普通コンクリート(Aシリーズ)のはば1.5倍であり、またマトリックスとなるコンクリートの強度だけを高くしたDシリーズの曲げ強度も高強度コンクリート(Bシリーズ)のはば1.5倍である。このことから、通常の鋼纖維を2%程度混入した場合には、マトリックスコンクリートの強度を高めても曲げ強度の増加率は大差ないことがわかる。DシリーズとEシリーズでは、鋼纖維の形状は異なるが、曲げ強度に差はみられなかった。

一方、マトリックスを高強化するとともに鋼纖維のアスペクト比を小さくして混入率を高めたE,H,I,Jシリーズでは、 200 kgf/cm^2 ないしそれ以上の曲げ強度が得られた。特にHシリーズでは 253 kgf/cm^2 という高い曲げ強度が得られた。これは纖維混入率が高いことに加え、鋼纖維の断面積が大きくかつ纖維長が長いために纖維とコンクリートとの間に十分な付着力が得られるとともに纖維のもつ強度が十分生かされたためと考えられる。また、 $\phi 0.7 \times 30\text{ mm}$ の鋼纖維を使用したFシリーズでは4%の混入率で 220 kgf/cm^2 の曲げ強度が得られた。これらの結果から高い曲げ強度をもつコンクリートを得るために、マトリックスを高強度化し、太い鋼纖維を多量に混入する方法が有効なことがわかる。これに対して非常に短い鋼纖維を用いたKシリーズにおいては、混入率が高いにもかかわらずあまり高い曲げ強度を得るためには、マトリックスを高強度化し、太い鋼纖維を多量に混入する方法が有効なことがわかる。

表-2 鋼纖維の種類

| Series | Size $d \times l(\text{mm})$ | Aspect Ratio | Shape |
|-----------|---------------------------------|-----------------|----------|
| C,D,HF,NF | 0.5x30 | 60 | indent |
| E | 0.5x30 | 60 | crimped |
| F | 0.7x30 | 43 | crimped |
| G | 0.5x20 | 40 | crimped |
| H | 1.0x40 | 40 | indent |
| I | 1.0x40 | 40 | straight |
| J | 1.0x30 | 30 | indent |
| K | 0.5x10 | 20 | crimped |

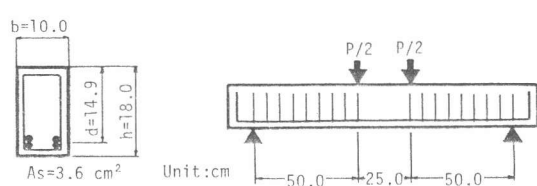


図-1 RCはりの形状

表-1 コンクリートの配合

| Series | Water-Cement Ratio | Sand-Aggr. Ratio | Fiber Content (%) | Unit Weight (kg/m^3) | | | | Admixture (Cement x %) | Slump (cm) |
|--------|--------------------|------------------|-------------------|---------------------------------|--------|------|-------|------------------------|------------|
| | | | | Water | Cement | Sand | Fiber | | |
| A | 0.52 | 0.51 | - | 182 | 344 | 892 | 885 | - | 12 |
| B | 0.32 | 0.49 | - | 166 | 527 | 827 | 895 | - | 13 |
| C | 0.50 | 0.51 | 2.0 | 210 | 420 | 824 | 820 | 0.25** | 12 |
| D | 0.28 | 0.50 | 2.0 | 177 | 639 | 767 | 763 | 3.0* | 5 |
| E | 0.28 | 0.50 | 2.0 | 177 | 639 | 769 | 763 | 3.0* | 6 |
| F | 0.28 | 0.53 | 4.0 | 183 | 653 | 764 | 673 | 4.0* | 2 |
| G | 0.28 | 0.55 | 5.0 | 187 | 668 | 769 | 636 | 5.5* | 0 |
| H | 0.28 | 0.56 | 6.0 | 189 | 674 | 766 | 593 | 5.0* | 1 |
| I | 0.28 | 0.56 | 6.0 | 189 | 675 | 767 | 593 | 5.0* | 0 |
| J | 0.28 | 0.56 | 6.0 | 189 | 675 | 767 | 593 | 5.0* | 6 |
| K | 0.28 | 0.60 | 8.0 | 197 | 706 | 769 | 501 | 6.0* | 11 |
| HF | 0.28 | 0.50 | 2.0 | 176 | 639 | 764 | 761 | 3.0* | 6 |
| HP | 0.28 | 0.38 | - | 154 | 553 | 647 | 1052 | - | 3.0* |
| NF | 0.54 | 0.69 | 2.0 | 184 | 351 | 1074 | 481 | 1.0** | 8 |

*Pz.NL-4000 **Pz.No.5L

表-3 試験結果

| Series | σ_b (kgf/cm^2) | σ_c (kgf/cm^2) | Absorbed Energy in Flexure (kgf.cm) | | | | Absorbed Energy in Compression (kgf.m) | | |
|--------|----------------------------------|----------------------------------|-------------------------------------|----------|-----------------|----------|--|-----------------|--|
| | | | W_{bp} | W_{bq} | W_{bq}/W_{bp} | W_{cp} | W_{cq} | W_{cq}/W_{cp} | |
| A | 64(4.9) | 440(3.3) | 5.2 | 11.6 | 2.2 | 9.8 | 21.1 | 2.2 | |
| B | 109(5.8) | 847(4.5) | 9.0 | 8.6 | 0.96 | 19.7 | 31.8 | 1.6 | |
| C | 109(8.1) | 488(3.3) | 72.0 | 446. | 6.2 | 12.9 | 74.8 | 5.8 | |
| D | 156(7.1) | 930(2.2) | 144. | 684. | 4.8 | 25.6 | 86.0 | 3.4 | |
| E | 158(6.6) | 903(2.3) | 49.5 | 913. | 18.4 | 28.6 | 142. | 5.0 | |
| F | 220(11.8) | 1014(3.2) | 243. | 1610. | 6.6 | 41.8 | 275. | 6.6 | |
| G | 190(15.0) | 1055(2.9) | 70.5 | 1310. | 18.6 | 50.3 | 308. | 6.1 | |
| H | 253(15.2) | 1017(3.3) | 289. | 2380. | 8.2 | 49.4 | 225. | 4.6 | |
| I | 219(7.8) | 1015(3.2) | 157. | 2130. | 13.6 | 49.3 | 122. | 2.5 | |
| J | 204(10.4) | 1001(1.7) | 158. | 1480. | 9.4 | 43.1 | 300. | 7.0 | |
| K | 159(9.5) | 952(1.7) | 11.5 | 508. | 44.1 | 28.6 | 132. | 4.6 | |

(): Coefficient of Variation

度は得られなかった。これは纖維長が短いために十分な付着力を得られなかつたためと考えられる。

Cシリーズの圧縮強度はAシリーズの約1.1倍であり、D,Eシリーズの圧縮強度もBシリーズの約1.1倍であった。すなわち、鋼纖維混入率が2%程度の場合、圧縮強度に対する鋼纖維の混入効果は1割増し程度であった。また、鋼纖維の混入率を高くしたF～Jシリーズの圧縮強度は、混入率が2%のD,Eシリーズの約1.1倍であり、このことから、圧縮強度に対する鋼纖維混入率の増加の効果が小さいことがわかる。

(b) 韶性 本研究においては、曲げあるいは圧縮荷重下におけるコンクリートの韶性を、最大耐力点および最大耐力点以降に耐力が最大耐力の1/3に低下した点にいたるまでの吸収エネルギーによって評価することとした。吸収エネルギーは荷重変位曲線によって囲まれる面積から算定した。最大耐力点および耐力が最大耐力の1/3まで低下した点に対応する吸収エネルギーを、曲げ試験の場合にはそれぞれ W_{hp} , W_{hq} とし、圧縮試験の場合にはそれぞれ W_{cp} , W_{cq} とする。

各シリーズの曲げ強度ならびに圧縮強度試験時の荷重変位曲線を図-2～5に、Fシリーズを基準として示す。吸収エネルギー W_{cp} , W_{cq} , W_{hp} , W_{hq} およびエネルギー比 W_{cq}/W_{cp} , W_{hq}/W_{hp} は表-3に示す。

まず曲げ韶性について、通常の鋼纖維補強コンクリートであるCシリーズを基準として比較検討する。マトリ

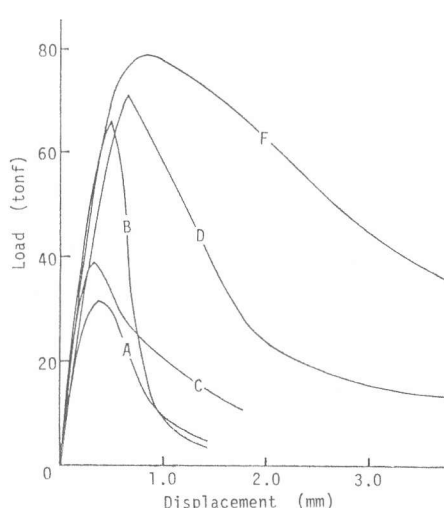


図-2 各種コンクリート圧縮供試体の荷重変位曲線

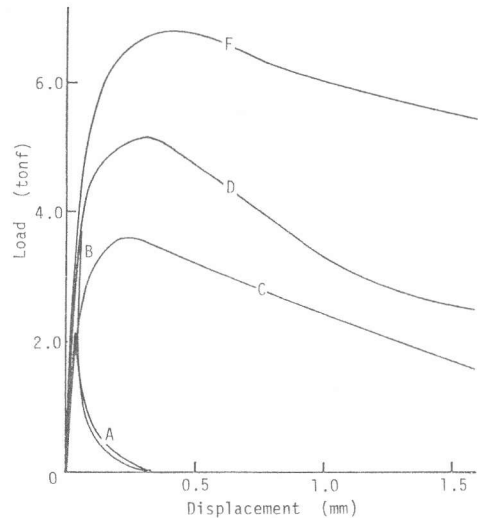


図-4 各種コンクリート曲げ供試体の荷重変位曲線

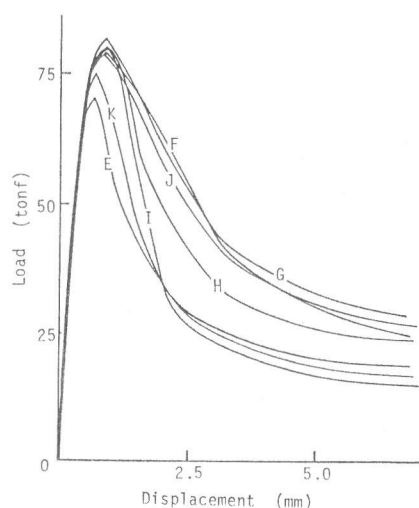


図-3 鋼纖維補強高強度コンクリート圧縮供試体の荷重変位曲線

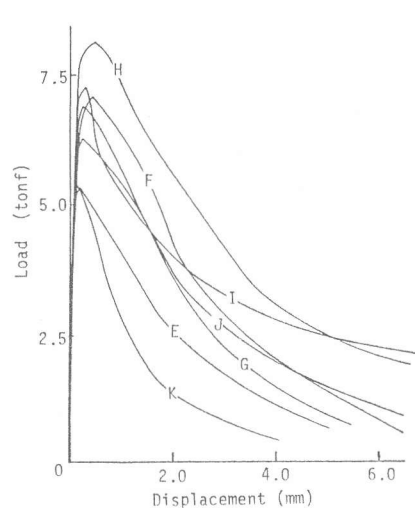


図-5 鋼纖維補強高強度コンクリート曲げ供試体の荷重変位曲線

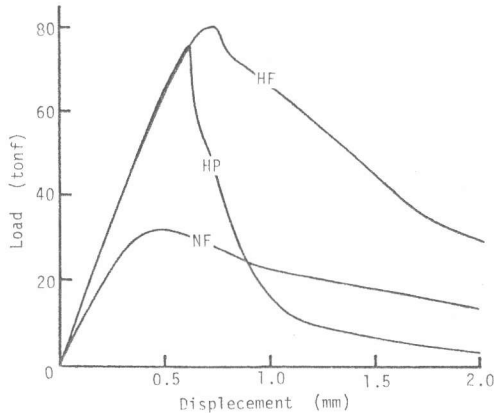


図-6 RCはりに使用したコンクリートの圧縮荷重変位曲線($\phi 10 \times 20\text{cm}$)

ックスを高強度コンクリートとした鋼纖維補強高強度コンクリートのE～Jシリーズでは、荷重変位曲線の形状からも明らかのように、 W_{bq} はCシリーズに比べ飛躍的に増大した。とくにH、Iシリーズでは W_{bq} はCシリーズの5倍以上となった。エネルギー比 W_{bq}/W_{bp} は最大耐力点以降に耐力が急激に失われるかどうかを示すパラメータ¹⁾の1つと考えられるが、この値も鋼纖維補強高強度コンクリートのE～JシリーズではCシリーズより大きくなっている。

一方、E～Jシリーズの圧縮吸収エネルギー W_{cp} 、 W_{cq} は、曲げ吸収エネルギー W_{bq} の場合と同様に、Cシリーズに比べ飛躍的に増大した。しかしながら、E～Jシリーズの圧縮破壊時のエネルギー比 W_{cq}/W_{cp} は、通常の鋼纖維補強コンクリートであるCシリーズのものと同程度であった。

4. 鋼纖維補強高強度コンクリートを使用したRCはりの破壊性状

図-6に、使用したコンクリートの圧縮試験時の荷重変位曲線を示す。表-4には、コンクリートの強度ならびに圧縮吸収エネルギーを示す。

図-7に、各RCはりの荷重たわみ曲線を示す。HPシリーズのRCはりは、最大耐力点付近においてコンクリートの圧壊が急激に進み耐力の低下が生じた。しかしながら、高強度鉄筋と鋼纖維補強高強度コンクリートとを組合せて使用したHFシリーズのRCはりの場合、最大耐力点以降も大きな耐荷力を維持し、通常のRCはりと同様のねばりのある破壊性状を示した。なお、高強度鉄筋と通常の鋼纖維補強コンクリートとを組合せて使用したNFシリーズのRCはりは、計算上は過鉄筋ではあったが、最大耐力点以降急激に耐力を失うことなく、かなりねばりのある破壊を生じた。

5. 結論

高性能な鋼纖維補強コンクリートの開発とそのRCはりへの利用について検討し、次の結果を得た。

- (1) 通常の鋼纖維よりも断面積が大きく、アスペクト比が小さい鋼纖維を高い混入率で混入し、マトリックスを高強度コンクリートとすることによって、曲げ強度が 200 kgf/cm^2 以上あり、しかも曲げ韌性ならびに圧縮韌性に非常に優れた高性能な鋼纖維補強コンクリートを製造することができた。
- (2) 高強度鉄筋と鋼纖維補強高強度コンクリートとを組合せて使用することにより、高い耐力を有ししかも通常のRCはりと同様のねばりのある破壊性状を示すRCはり部材が得られた。

〔参考文献〕 1) 小柳ほか：各種コンクリートの強度とじん性、材料、Vol. 32, No. 353, 1983年2月。

表-4 RCはりに使用したコンクリート

| Series | σ_c (kgf/cm ²) | σ_b (kgf/cm ²) | σ_t (kgf/cm ²) | Absorbed Energy in Compression(kgf·m) | | |
|--------|-----------------------------------|-----------------------------------|-----------------------------------|---------------------------------------|----------|-----------------|
| | | | | W_{cp} | W_{cq} | W_{cq}/W_{cp} |
| HF | 1024 | 126. | 92.1 | 30.7 | 104.5 | 3.4 |
| HP | 957 | 78.5 | 55.3 | 26.0 | 37.1 | 1.4 |
| NF | 406 | 99.3 | 44.0 | 9.5 | 44.5 | 4.5 |

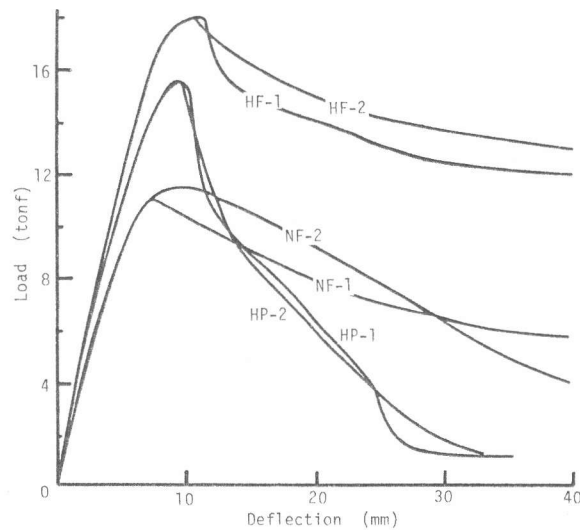


図-7 RCはりの荷重たわみ曲線